

ارزیابی مشخصات خمشی مصالح پایه سیمانی با عملکرد بالا مسلح به الیاف قلابدار فولادی

احسان الله ضیغمی^{۱*}، فرشید جندقی علایی^۲ و منصور جامعی^۳

^۱ دانشجوی دکتری مهندسی سازه، دانشگاه شهرورد

^۲ دانشیار دانشکده عمران و معماری، دانشگاه شهرورد

^۳ کارشناس ارشد مهندسی سازه، دانشگاه شهرورد

تاریخ دریافت: ۱۳۹۳/۰۸/۲۶؛ تاریخ بازنگری: ۱۳۹۴/۰۳/۰۳؛ تاریخ پذیرش: ۱۳۹۴/۰۴/۰۷

چکیده

در تحقیق حاضر، مشخصات مکانیکی کامپوزیت‌های پایه سیمانی مسلح به درصدهای حجمی مختلف الیاف (۱٪ و ۲٪)، مورد بررسی قرار گرفته است. ماتریس سیمانی، دارای مقاومت فشاری ۴۹ مگاپاسکال و الیاف بکار رفته فولادی و قلابدار هستند. آزمون خمشی بر اساس دو استاندارد ASTM C1801 و ASTM C1609 انجام شده، پارامترهای خمشی شامل، ظرفیت باربری، میزان جذب انرژی، ظرفیت تغییر مکان و نحوه ترک خوردگی ارزیابی و مقایسه شده‌اند. نتایج بدست آمده نشان می‌دهد که افزایش درصد حجمی الیاف از ۱٪ به ۲٪، سبب تغییر رفتار مصالح از نرم شدگی به سخت شدگی تغییرمکانی می‌شود. علاوه بر این بروز رفتار سخت شدگی، سبب بهمود مشخصات مکانیکی مصالح می‌شود. بیشترین تاثیر رفتار سخت شدگی، در افزایش ظرفیت تغییرمکان بوده، هرچند این رفتار ظرفیت باربری و میزان جذب انرژی مصالح را نیز بطور قابل ملاحظه‌ای افزایش می‌دهد. علاوه بر این بروز رفتار سخت شدگی، سبب تغییر نحوه ترک خوردگی مصالح می‌شود و در این حالت، گسیختگی نمونه‌ها از طریق ایجاد ترک خوردگی‌های متعدد است.

کلمات کلیدی: کامپوزیت‌های پایه سیمانی؛ نرم شدگی و سخت شدگی تغییرمکانی؛ ظرفیت باربری؛ میزان جذب انرژی؛ ظرفیت تغییرمکان

Flexural behavior of high performance cementitious composites reinforced with hooked steel fibers

E. Zeighami^{1,*}, F.J. Alaei² and M. Jamee³

¹ Ph.D. Candidate, Structural Eng., Shahrood Univ., Shahrood, Iran

² Assoc. Prof., Civil Eng., Shahrood Univ., Shahrood, Iran

³ M.Sc., Structural Eng., Shahrood Univ., Shahrood, Iran

Abstract

This research investigates the mechanical properties of High Performance Fiber Reinforced Cementitious Composites (HPFRCC) with two volume fractions of fiber (1% and 2%). Hooked steel fibers were incorporated into a mortar matrix with 49 MPa compressive strength. Four point bending tests were carried out according to ASTM C1018 and ASTM C1609 Standards. Parameters such as: load carrying capacity (equivalent bending strength), energy absorption capacity (toughness), deflection, and cracking patterns (number of cracks), were evaluated to investigate the flexural behavior of two HPFRCCs. It was found that the increase in fiber volume fraction not only promotes the flexural behavior from deflection softening to deflection hardening, but also improves all mechanical properties. Deflection capacity gains the most from deflection hardening behavior. Besides, substantial increase in load carrying capacity and energy absorption is also achieved. It was observed that HPFRCC with deflection hardening behavior exhibits multiple cracking in the post cracking behavior.

Keywords: Cementitious Matrix; Deflection Softening and Hardening; Load Carrying Capacity; Energy Absorption; Deflection Capacity

الیاف (مثل؛ صاف^۴، قلابدار^۵، مجعد^۶، تابیده^۷)، نسبت حجمی الیاف، خواص ماتریس (مثل؛ مقاومت ماتریس، سختی و ضریب پواسون) و ویژگی‌های سطح تماس (مانند چسبندگی، اصطکاک و مهار مکانیکی) بستگی دارد. به طور آشکار، برای ماتریس مشخص نوع و مقدار الیاف، پارامترهای کلیدی موثر بر عملکرد FRCC و هزینه‌های مربوطه هستند. با این وجود، در شرایط مشخص در صورتی که بتوان با استفاده از نسبت حجمی پایین‌تری از الیاف به رفتار سخت شدگی کرنشی یا سخت شدن تغییر مکانی دست پیدا کرد، این کار از نظر هزینه بسیار حائز اهمیت است.

در سال‌های اخیر، مطالعات متعددی روی رفتار خمشی کامپوزیت‌های سیمانی مسلح به الیاف (FRCC) در آمریکا و سایر کشورها انجام گرفته است. Soroushian و Bayasi، روی تاثیر نوع الیاف روی عملکرد کلی بتن مسلح به الیاف مطالعاتی را انجام دادند [۳]. این محققان از الیاف مختلف مثل، الیاف مستقیم و مجعد با سطح مقطع دایره‌ای، الیاف مجعد با سطح مقطع مربعی و الیاف قلابدار (با درصد حجمی ۲ درصد) استفاده کردند. آنها گزارش نمودند که بطورکلی کارایی مستقل، از نوع الیاف است (به‌غیر از الیاف مجعد). علاوه بر این، نتایج بدست آمده توسط این محققان نشان می‌دهد که الیاف قلابدار در مقایسه با الیاف مستقیم و مجعد، تاثیر بیشتری در بهبود خصوصیات بتن الیافی دارند.

Naaman و Kim روی تاثیر نوع و درصدهای حجمی مختلف الیاف روی رفتار خمشی (FRCC) ها مطالعاتی را انجام دادند [۴]. این محققان از ۴ نوع الیاف مختلف شامل: الیاف فولادی تابیده، الیاف فولادی قلابدار، الیاف پلی اتیلن و الیاف پلی‌وینیل کلکل با درصدهای حجمی ۰/۴ و ۱/۲ درصد استفاده نمودند. نتایج بدست آمده توسط آن‌ها نشان داد که در بین این الیاف، کامپوزیت‌هایی که در آنها از الیاف تابیده استفاده شده بود، بهترین کارایی را از نظر تحمل بار، جذب انرژی و ترک‌خوردگی‌های متعدد داشته، نمونه‌های ساخته شده با الیاف پلی‌وینیل کلکل ضعیفترین را از خود نشان دادند. این محققان، همچنین نشان دادند که در ماتریس‌های

۱- مقدمه

اضافه کردن درصد کمی الیاف کوتاه به صورت تصادفی به ماتریس سیمانی، سبب بهبود رفتار مکانیکی آن شده که معمولاً به عنوان کامپوزیت سیمانی مسلح شده با الیاف^۱ (FRCC) شناخته می‌شود. کامپوزیت‌های سیمانی مسلح به الیاف در مقایسه با بتن‌های غیرمسلح، مقاومت و شکل‌بدیری نسبتاً بالاتری از خود نشان می‌دهند. عملکرد کامپوزیت‌های سیمانی مسلح شده با الیاف را می‌توان تا جایی بهبود بخشد که گسیختگی خمشی از طریق ایجاد ترک‌های متعدد رخ دهد. در صورت بروز چنین رفتاری، این مصالح را کامپوزیت‌های سیمانی مسلح شده با الیاف با سخت شدگی تغییرمکانی^۲ (DHFRC) می‌نامند. ارتباط بین کامپوزیت-هایی با رفتار سخت شدگی تغییرمکانی و کامپوزیت‌هایی که از خود رفتار سخت شدگی کرنشی نشان می‌دهند، توسط Naaman مورد بررسی قرار گرفته است [۱]. او نشان داد، در صورتی که رفتار خمشی بخواهد سخت شدگی تغییرمکانی از خود نشان دهد، متوسط مقاومت پس از ترک‌خوردگی در کشش باید در حدود یک سوم مقاومت ترک خوردگی باشد؛ بنابراین برای به دست آوردن پاسخ سخت شدگی تغییرمکانی نسبت به رفتار سخت شدگی کرنشی، مقدار بسیار کمتری از الیاف مورد نیاز است. علاوه بر این، Naaman به فرمول‌بندی یک رابطه برای محاسبه نسبت حجمی بحرانی الیاف برای رسیدن به رفتار سخت شدگی تغییر مکانی پرداخت. در سال‌های اخیر، Soranakom و Mobasher به بررسی رابطه بین پاسخ کشنشی و پاسخ خمشی FRCC ها پرداخته و معادلاتی را برای پیش‌بینی رفتار خمشی FRCC ها بر اساس پاسخ کشنشی تک محوره و پاسخ فشاری آنها ارائه نمودند [۲]. آنها همچنین به ارائه پیشنهاداتی در خصوص بدست‌آوردن رفتار کشنشی FRCC ها با استفاده از محاسبات بازگشتی از روی آزمایش خمش پرداختند.

عملکرد FRCC به عوامل بسیاری مانند، خواص الیاف (بطور مثال؛ مقاومت الیاف، سختی و ضریب پواسون)، هندسه

⁴ Smooth

⁵ Hooked

⁶ Crimped

⁷ Twisted

^۱ Fiber Reinforced Cementitious Composite (FRCC)

^۲ Multiple Cracking

^۳ Deflection Hardening Fiber Reinforced Cementitious Composite (DHFRC)

مختلف، ترکیبات ماتریس گوناگون و نسبت‌های حجمی متفاوت الیاف پرداختند، با این وجود، اغلب این محققان در انجام آزمایشات خود از روند استاندارد مانند آنچه در آیین نامه ASTM ذکر شده است، استفاده نکرده‌اند؛ لذا انجام آزمایش خمثی با استفاده از درصدهای مختلف الیاف جدید و بررسی و تحلیل نتایج بدست آمده با روشنی استاندارد ضروری می‌نماید.

هدف اصلی این پژوهش، بررسی تاثیر مقدار درصدهای حجمی مختلف الیاف روی پاسخ خمثی کامپوزیت‌های پایه سیمانی (FRCC) مانند، ظرفیت باربری، میزان جذب انرژی، ظرفیت تغییر مکان و نحوه ترک خوردگی است. آزمایشات و تحلیل نتایج براساس ASTM C1609/C1609M-05، انجام شده است. بررسی‌ها روی مخلوط‌هایی با درصدهای نسبتاً کم الیاف (۰۱ و ۰۲ درصد) انجام شده است که از خود رفتار سخت شدگی تغییرمکانی نشان می‌دهند.

۲- خصوصیات مکانیکی مصالح پایه سیمانی مسلح به الیاف

خصوصیات مکانیکی مصالح پایه سیمانی مسلح به الیاف توسط سه پارامتر مقاومت خمثی (مدول گسیختگی)، انرژی شکست و نیروی متناظر با تغییر مکان‌های مشخص ارزیابی شده است که در ادامه، با جزئیات بیشتری توصیف می‌شود. پارامترهای فوق را می‌توان با استفاده از نتایج حاصل از آزمون خمثی، بر اساس استانداردهای ASTM C1018 و ASTM C1609 محاسبه کرد. علاوه بر ارزیابی انجام شده در خصوص رفتار خمثی، خصوصیات مکانیکی ماتریس شامل، مقاومت فشاری، مقاومت کششی دونیم شدن و مقاومت خمثی نیز بهتر ترتیب براساس استانداردهای ASTM C39، ASTM C496، ASTM C78 و ASTM C78 انجام شده است.

۱- پارامترهای توصیف کننده رفتار خمثی

Riftar مصالح پایه سیمانی مسلح به الیاف را می‌توان به دو دسته سخت‌شدگی یا نرم‌شدگی تغییرمکانی دسته‌بندی کرد (شکل ۱). در آزمایش خمثی (مدول گسیختگی)، مصالحی با Riftar سخت‌شدگی تغییر مکانی نامیده می‌شود که بعد از ترک خوردگی، ظرفیت باربری بیشتری از خود نشان دهد [۴].

با مقاومت بالا الیاف تاییده نسبت به الیاف قلابدار، عملکرد بهتری دارند.

علایی و نظرعلی روی رفتار بتن‌های مسلح به الیاف مجعد، مطالعاتی را انجام دادند [۵]. این محققان در روند سه مرحله‌ای ابتدا به بررسی و انتخاب ماتریس مناسب و پس از آن انتخاب فرم بهینه هندسه الیاف از نظر طول و ارتفاع امواج و درنهایت به ساخت نمونه‌های بتن الیافی با درصد حجمی ۴ درصد پرداختند. این محققان، گزارش کردند که با اضافه کردن این الیاف مجعد به ماتریس انتخابی، می‌توان به بتن مسلح توانمند با مقاومت کششی ۲۴ مگاپاسکال و انرژی شکست ۹۵۰۰ نیوتن-میلی‌متر دست پیدا کرد. این مقدار در مقایسه با انرژی شکست بتن معمولی در حدود ۱۶۰ برابر است.

Hong و Won به بررسی رفتار خمثی کامپوزیت‌های پایه سیمانی مسلح شده با درصدهای مختلف الیاف فولادی با مقاومت بسیار بالا پرداختند [۶]. این محققان، گزارش کردند که با اضافه کردن الیاف با نسبت‌های حجمی $2/0$ ، $0/3$ ، $0/4$ ، $0/5$ ، $0/7$ و 1 درصد، مقاومت خمثی به میزان 20 ، 33 ، 37 ، 41 و 47 درصد و طاقت خمثی برای نمونه‌های با نسبت‌های حجمی $0/4$ ، $0/5$ و $0/7$ به میزان 39 ، 44 و 56 درصد افزایش یافت.

Nguyen و همکاران، به بررسی تاثیر ابعاد نمونه‌ها روی رفتار خمثی کامپوزیت‌های پایه سیمانی مسلح به الیاف پرداختند [۷]. آن‌ها سه سری نمونه در اندازه‌های کوچک، $100 \times 100 \times 50$ میلی‌متر، متوسط، $150 \times 150 \times 50$ میلی‌متر و بزرگ، $300 \times 300 \times 50$ میلی‌متر را مورد بررسی قرار دادند که در ساخت آنها از الیاف تاییده با درصدهای حجمی $0/5$ و 1 درصد استفاده شده بود. این محققان، نشان دادند که رفتار خمثی نمونه‌هایی که شکل‌پذیری کششی کمتری دارند، نسبت به ابعاد آن‌ها حساس‌تر است.

Trottier و Banthia به بررسی جزئیات و مشکلات مربوط به روش‌های ارزیابی خصوصیات شکل‌پذیری (جذب انرژی) موجود در آیین‌نامه‌های مختلف مثل JSCE C1018 و ASTM SF-4 پرداخته، راهکارهایی را نیز در این خصوص ارائه کردند [۸].

اگرچه در سال‌های اخیر، محققان به انجام آزمون خمثی FRCC و گزارش پاسخ خمثی آن برای نمونه‌های با ابعاد

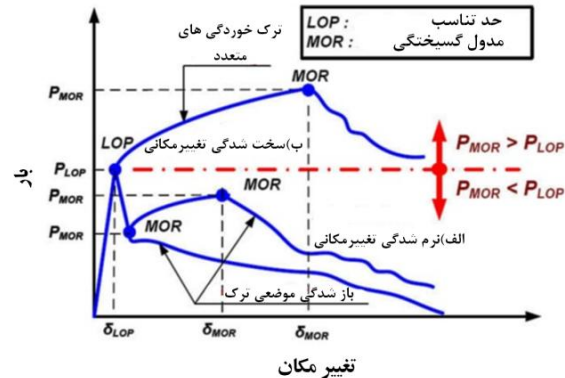
d_5 : نقطه‌ی نظری تغییر مکان ۳ برابر δ_{LOP}
 d_{10} : نقطه‌ی نظری تغییر مکان ۵/۵ برابر δ_{LOP}
 d_{20} : نقطه‌ی نظری تغییر مکان ۱۰/۵ برابر δ_{LOP}
 $L/600$: نقطه‌ی نظری تغییر مکان ۱/۶۰۰ برابر طول دهانه
 $L/150$: نقطه‌ی نظری تغییر مکان ۱/۱۵۰ برابر طول دهانه
 $L/100$: نقطه‌ی نظری تغییر مکان ۱/۱۰۰ برابر طول دهانه
استاندارد ASTM C1609، نقاط $L/600$ و $L/150$ را به منظور ارزیابی رفتار خمشی نمونه‌ها پیشنهاد می‌نماید. نقطه $L/100$ علاوه بر نقاط پیشنهاد شده، به منظور ارزیابی صحیح‌تر رفتار خمشی این مصالح در نظر گرفته شده است. برای تمامی نقاط فوق نیرو، تنش و انرژی براساس نتایج بدست آمده از آزمایشات محاسبه شده است. به منظور سهولت نام‌گذاری این کمیت‌ها از پیشوندهای P و f و δ و $Tough$ به ترتیب، برای نیرو، تنش، تغییرمکان و انرژی در نقاط ذکر شده استفاده می‌کنیم.

در تحقیق حاضر، نقطه نظری ایجاد اولین ترک روی نمودار نیرو- تغییر مکان، نقطه‌ی شروع رفتار غیرخطی در نظر گرفته می‌شود. که بر اساس ASTM C1018 این نقطه حد تناسب^۱ یا LOP نام‌گذاری می‌شود.

۳- برنامه آزمایشگاهی

جدول ۱، نسبت‌های وزنی ماتریس مورد استفاده در این تحقیق را ارائه می‌کند. مقاومت فشاری این ماتریس، برابر با ۴۹ مگاپاسکال است. الیاف مورد استفاده در ساخت این کامپوزیت‌ها از نوع قلابدار و جنس فولادی با نام تجاری DOULOC 36/0.8 بوده است که با درصد حجمی مختلف، مورد استفاده قرار گرفته است (۱٪ و ۲٪) که در مجموع منجر به ساخت ۶ سری نمونه مختلف گردیده است. (۳ سری نمونه ۱٪ و ۳ سری نمونه ۲٪).

استفاده از درصدهای مختلف الیاف علاوه بر اینکه امکان ارزیابی و مقایسه مشخصات مکانیکی این کامپوزیت‌ها را فراهم می‌کند، امکان بررسی بهبود رفتار مصالح به کمک دستیابی به رفتار سخت شدگی تغییر مکانی را نیز میسر می‌سازد. در شکل ۲، الیاف مورد استفاده و در جدول ۲



شکل ۱- دیاگرام نیرو- تغییرمکان مصالح پایه سیمانی مسلح به الیاف [۴]

در استاندارد جدید ASTM C1609، نقطه‌ای با شیب صفر به عنوان حد تناسب در نظر گرفته می‌شود. این تعریف برای مصالحی با رفتار سخت‌شدنی تغییر مکانی و ترک‌خوردگی‌های متعدد مناسب نیست [۴]؛ در صورتی که مصالح رفتار سخت‌شدنی تغییر مکانی را بروز دهند، تعیین این نقطه براساس تعریف ASTM C1609، بسیار دشوار است. به همین دلیل و بر اساس ASTM C1018، حد تناسب به عنوان مقاومت نظری، اولین ترک‌خوردگی در نظر گرفته می‌شود. نیرو و تغییر مکان نظری این نقطه به ترتیب، P_{LOP} و δ_{LOP} نامیده می‌شوند. تنش ایجاد شده ناشی از نیروی P_{LOP} به عنوان مقاومت نظری اولین ترک در نظر گرفته شده و با استفاده از رابطه (۱) تعیین می‌شود. سطح زیر منحنی نیرو- تغییر مکان تا نقطه‌ی حد تناسب، انرژی نظری ایجاد اولین ترک یا $Tough_{LOP}$ در نظر گرفته می‌شود. بر اساس ASTM C1609 تنش در نقطه حد تناسب از رابطه (۱) تعیین می‌شود:

$$f_{LOP} = P_{LOP} \frac{L}{bh^2} \quad (1)$$

که در این رابطه، L طول دهانه و b و h به ترتیب، عرض و ارتفاع مقطع تیر هستند. مدول گسیختگی یا MOR ، نقطه شروع رفتار نرم‌شدنی و بعد از نقطه حد تناسب در نظر گرفته می‌شود (شکل ۱). علاوه بر نقاط حد تناسب و مدول گسیختگی، ۶ نقطه دیگر روی منحنی نیرو تغییر مکان تعیین می‌شوند:

^۱ Limit Of Proportionality

سیمان به آن‌ها اضافه شده، مصالح خشک در حدود ۲ دقیقه دیگر، به طور کامل مخلوط می‌شوند. فوق روان‌کننده با درصد آب موردنیاز اختلاط، مخلوط می‌شود. به کمک این روش توزیع آن در مخلوط یکنواخت‌تر و عملکرد بهتری در افزایش کارایی بتون خواهد داشت. پس از اختلاط کامل مصالح خشک، محلول آب و فوق روان‌کننده به تدریج و در طی مدت زمان ۵ دقیقه به آن اضافه می‌شود. با اضافه کردن این محلول، مخلوط حالت خمیری پیدا کرده، ولیکن کارایی آن برای اضافه کردن الیاف مناسب نیست. با افزودن ۳۰ درصد آب باقی‌مانده در طی مدت زمان ۵ دقیقه، کارایی لازم برای افزودن الیاف به دست خواهد آمد. دلیل طولانی بودن مدت زمان افزودن آب و فوق روان‌کننده، این است که با افزایش زمان اختلاط، تاثیر فوق روان‌کننده افزایش می‌یابد. با توجه به بالا بودن حجم مصالح خمیری (سیمان و میکروسیلیس)، افزایش زمان اختلاط سبب کاهش یکنواختی و جداشگی ذرات نمی‌شود. شکل ۳، روند اختلاط را به طور خلاصه نشان می‌دهد. پس از دستیابی ماتریس به کارایی مناسب، الیاف بتدريج به مخلوط اضافه می‌شود، اضافه کردن الیاف طوری انجام می‌شود که از توزیع یکنواخت الیاف در مخلوط اطمینان حاصل شود. ریختن مخلوط داخل قالب‌ها به نحوی انجام می‌شود که این توزیع یکنواخت و تصادفی حفظ گردد (استفاده از یک پیمانه حتی الامکان بزرگ).



شکل ۳- روند طرح اختلاط

پس از ریختن مخلوط داخل قالب، عملیات متراکم کردن آن با استفاده از میز لزان انجام می‌شود. به همین منظور،

مشخصات مکانیکی این الیاف نشان داده شده است. برای بارگذاری نمونه‌ها در آزمون خمش، از جک هیدرولیکی با نام Zwick با قابلیت اعمال بار به صورت کنترل تغییر مکان استفاده گردیده است. سرعت بارگذاری نمونه‌ها بر اساس ASTM C1609، ۱/۰ میلی‌متر بر دقیقه در نظر گرفته شده است.

جدول ۱- طرح اختلاط ماتریس سیمانی

فوق روان‌کننده ^۱	آب سنگدانه میکروسیلیس سیمان ^۲	ماتریس
۰/۰۱۲	۰/۰۲۵	۱/۰۰
۰/۰۵۸	۰/۰۲۵	۱/۰۰

^۱ فوق روان‌کننده PCE ^۲ سیمان پرتلند تیپ II



شکل ۲- الیاف مورد استفاده

جدول ۲- مشخصات الیاف

نام الیاف	مهار مکانیکی	قطر (mm)	طول (mm)	وزن مخصوص (Kg/m³)	مقاومت کششی (MPa)
Duoloc 36/0.8	قلاب‌دار	۰/۸	۳۶	۷۸۵۰	۱۲۰۰

دو مجموعه از تست‌های مصالح روی کامپوزیت‌های ساخته شده انجام گردید که بخش اول شامل، تست‌های انجام شده روی کامپوزیت بدون الیاف (شامل آزمون‌های مقاومت فشاری، مقاومت دو نیم شدن و آزمون خمش) و بخش دوم شامل، آزمایشات انجام شده روی نمونه‌های کامپوزیت دارای الیاف (آزمون تیر خمشی) با هدف برآورد خصوصیات رفتاری این کامپوزیت‌ها است.

۱-۳ ساخت و عمل آوری نمونه ها

ساخت نمونه‌ها با استفاده از مخلوط کن ELE انجام گردیده است. روند اختلاط بدین ترتیب است که ابتدا سنگدانه‌ها همراه با میکروسیلیس به صورت خشک و در حدود ۲ دقیقه با یکدیگر مخلوط می‌شوند. چسبیدن ذرات میکروسیلیس به سنگدانه‌ها سبب بهبود توزیع یکنواخت آن در مخلوط نهایی می‌شوند. بعد از اختلاط کامل سنگدانه‌ها و میکروسیلیس،

براساس ASTM C1609، ابعاد نمونه‌ها $100 \times 100 \times 350$ میلی‌متر و دهانه خالص بارگذاری ۳۰۰ میلی‌متر است. هنگام قرارگیری نمونه‌ها روی تکیه‌گاه، آن‌ها را نسبت به وضعیت‌شان هنگام بتونریزی، ۹۰ درجه می‌چرخانیم. به این ترتیب، می‌توان آثار ناشی از جهت بتونریزی در نتایج آزمایشات را به حداقل رساند. همان‌گونه که در شکل ۴ قابل مشاهده است، به منظور اندازه‌گیری تغییر مکان وسط دهانه تیر، از قاب فلزی استفاده شده است. به کمک این قاب، می‌توان تغییرشکل‌های ناشی از نشستهای تکیه‌گاهی و چرخش نمونه هنگام بارگذاری را از بین برداشت. قاب در وسط ارتفاع مقطع و به کمک ۴ پیچ در نقاط A و B به نمونه متصل می‌شود. تنها ۲ پیچ از ۴ پیچ به طور ثابت عمل کرده، ۲ پیچ دیگر اجازه تغییر مکان افقی را به قاب می‌دهند. بدین ترتیب مکان وسط دهانه به کمک دو تغییر مکان سنج^۱ اندازه‌گیری می‌شود که در دو وجه تیر به قاب متصل هستند. متوسط مقادیر این تغییر مکان سنج‌ها به عنوان تغییر مکان خالص وسط دهانه در نظر گرفته می‌شود. نیروی وارد بر نمونه به کمک نیروسنج متصل به بازوی محرک دستگاه اندازه‌گیری می‌شود. به منظور ثبت اطلاعات نیروسنج و تغییر مکان سنج‌ها، از دستگاه ثبت داده‌ها^۲ استفاده شده است. این دستگاه با فرکانس ۱ هرتز، داده‌ها را هنگام آزمایش ثبت می‌کند. برای بارگذاری نمونه‌ها، جک هیدرولیکی با قابلیت اعمال بار به صورت کنترل تغییر مکان، مورد استفاده قرار گرفته است. سرعت بارگذاری نمونه‌ها بر اساس ASTM C1609، ۰/۱ میلی‌متر بر دقیقه است.

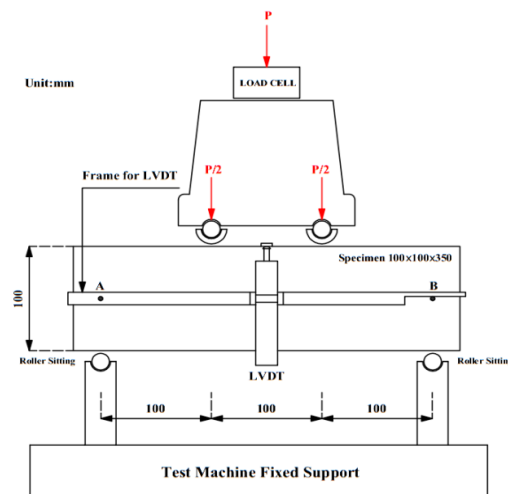
۳-۳ نتایج آزمایشات

مقاومت فشاری و مقاومت کششی دو نیم شدن ماتریس سیمانی بکار رفته به ترتیب، ۴۹ و ۵/۴ مگاپاسکال است. در هر یک از موارد فوق، ۳ نمونه مورد آزمون قرار گرفته، متوسط مقادیر بدست آمده به عنوان مقاومت فشاری و کششی دو نیم شدن در نظر گرفته شده است.

قالب‌ها در حدود ۱۰ دقیقه روی میز لرزان قرار داده می‌شوند. سپس سطح نمونه‌ها پرداخت شده برای جلوگیری از تبخیر سطحی، روی قالب‌ها با استفاده از پوشش‌های پلاستیکی پوشانده می‌شود. قالب‌ها بعد از مدت زمان ۲۰-۲۴ ساعت باز شده، نمونه‌ها به مدت ۲۸ روز داخل حوضچه آب قرار می‌گیرند.

۲-۳ نحوه انجام آزمایشات

مقاومت فشاری و مقاومت کششی دو نیم شدن ماتریس سیمانی به وسیله آزمون نمونه‌های استوانه‌ای 100×200 میلی‌متر اندازه‌گیری شده است. هندسه نمونه‌ها و چیدمان آزمایش مقاومت خمی، در شکل ۴ نشان داده شده است.



شکل ۴- هندسه نمونه‌ها و چیدمان آزمایش مقاومت خمی

^۱ Linear Variable displacement Transducer (LVDT)

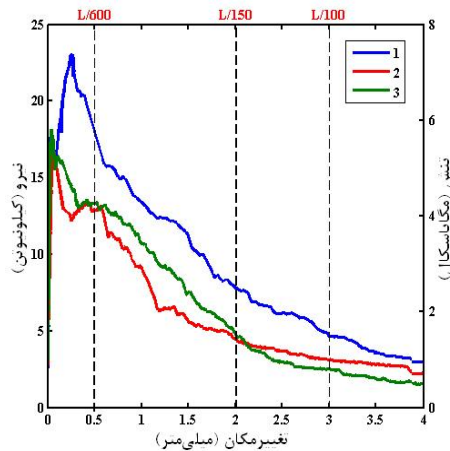
^۲ Data Logger

با توجه به نمودارهای اشکال ۵ و ۶ افزایش درصد حجمی الیاف سبب تغییر رفتار مصالح شده است. تمامی نمونه‌های مسلح به ۱ درصد حجمی الیاف نرم شدگی تغییر مکانی را بروز داده‌اند، در حالی که در نمونه‌های مسلح به ۲ درصد الیاف این رفتار به سخت‌شدگی تغییر مکانی تغییر کرده است. همچنین این رفتار در هر سه نمونه آزمایش شده، مشهود بوده، این امر نشان دهنده ثبات رفتار مصالح است.

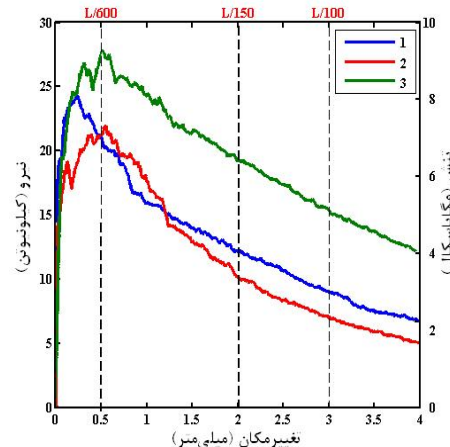
جدول ۳- جزئیات نتایج آزمایش نمونه های مسلح به یک درصد الیاف

$Vf = 1\%$	UNIT	Specimen Number			
		1	2	3	
LOP	P_{LOP}	N	$1/766 \times 10^4$	$1/694 \times 10^4$	$1/8181 \times 10^4$
	f_{LOP}	MPa	۵/۲۹۸	۵/۰۸۲	۵/۴۵۴
	δ_{LOP}	mm	۰/۰۲۷۵	۰/۰۵۸۷	۰/۰۳۵۰
	$Tough_{LOP}$	N-mm	$2/3194 \times 10^7$	$6/4646 \times 10^7$	$3/8412 \times 10^7$
d_5	P_{d_5}	N	$1/587 \times 10^4$	$1/2895 \times 10^4$	$1/640 \times 10^4$
	f_{d_5}	MPa	۴/۷۶۱	۳/۸۶۹	۴/۹۲۰
	δ_{d_5}	mm	۰/۰۸۲۵	۰/۱۷۶۲	۰/۱۰۵
	$Tough_{d_5}$	N-mm	$1/1190 \times 10^7$	$3/1602 \times 10^7$	$1/5467 \times 10^7$
d_{10}	$P_{d_{10}}$	N	$1/9396 \times 10^4$	$1/2851 \times 10^4$	$1/5293 \times 10^4$
	$f_{d_{10}}$	MPa	۵/۸۱۰	۳/۸۵۳	۴/۵۸۷۹
	$\delta_{d_{10}}$	mm	۰/۱۵۱۳	۰/۳۲۳۱	۰/۱۹۲۵
	$Tough_{d_{10}}$	N-mm	$2/3131 \times 10^7$	$4/2085 \times 10^7$	$2/7475 \times 10^7$
d_{20}	$P_{d_{20}}$	N	$2/1200 \times 10^4$	$1/2192 \times 10^4$	$1/3229 \times 10^4$
	$f_{d_{20}}$	MPa	۶/۴۸۰	۳/۶۵۷۶	۳/۹۸۳۷
	$\delta_{d_{20}}$	mm	۰/۲۸۸۹	۰/۶۱۶۹	۰/۳۶۷۵
	$Tough_{d_{20}}$	N-mm	$5/0855 \times 10^7$	$7/6475 \times 10^7$	$5/3868 \times 10^7$
$L/600$	$P_{L/600}$	N	$1/7968 \times 10^4$	$1/2875 \times 10^4$	$1/3266 \times 10^4$
	$f_{L/600}$	MPa	۵/۳۹۰۴	۳/۸۴۲۵	۴/۰۰۹۸
	$\delta_{L/600}$	mm	۰/۰۴۰۰	۰/۰۴۰۰	۰/۰۴۰۰
	$Tough_{L/600}$	N-mm	$1/094 \times 10^7$	$6/5778 \times 10^7$	$7/1872 \times 10^7$
$L/150$	$P_{L/150}$	N	$2/8058 \times 10^4$	$4/4245 \times 10^4$	$4/8786 \times 10^4$
	$f_{L/150}$	MPa	۲/۳۴۱۷	۱/۳۲۷۹	۱/۴۶۳۶
	$\delta_{L/150}$	mm	۲/۰۰۰	۲/۰۰۰	۲/۰۰۰
	$Tough_{L/150}$	N-mm	$2/8797 \times 10^4$	$1/7982 \times 10^4$	$2/929 \times 10^4$
$L/100$	$P_{L/100}$	N	$4/774 \times 10^4$	$2/1414 \times 10^4$	$2/475 \times 10^4$
	$f_{L/100}$	MPa	۱/۴۱۷۲	۰/۹۴۲۴	۰/۷۴۲۵
	$\delta_{L/100}$	mm	۳/۰۰۰	۳/۰۰۰	۳/۰۰۰
	$Tough_{L/100}$	N-mm	$2/4148 \times 10^4$	$2/1668 \times 10^4$	$2/4169 \times 10^4$
MOR	P_{MOR}	N	$2/306 \times 10^4$	$1/894 \times 10^4$	$1/818 \times 10^4$
	f_{MOR}	MPa	۹/۹۱۸	۵/۰۸۲	۵/۴۵۴
	δ_{MOR}	mm	۰/۲۶۰	۰/۰۵۸۷	۰/۰۳۵
	$Tough_{MOR}$	N-mm	$4/6931 \times 10^4$	$6/4646 \times 10^4$	$3/8412 \times 10^4$

رفتار خمی نمونه‌ها به کمک نمودار نیرو-تغییر مکان و تنش-تغییر مکان توصیف شده که در شکل‌های ۵ و ۶ نشان داده شده است. شکل ۵، مربوط به نمونه‌های با ۱٪ درصد حجمی الیاف و شکل ۶، رفتار نمونه‌های مسلح به ۲٪ درصد الیاف را نشان می‌دهد.



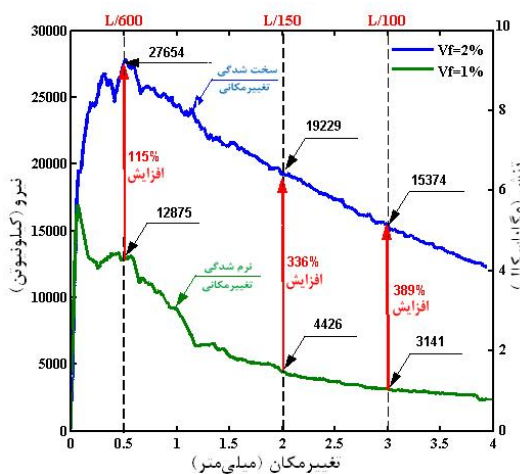
شکل ۵- منحنی نیرو- تغییرمکان و تنش- تغییرمکان نمونه های مسلح به ۱ درصد



شکل ۶- منحنی نیرو- تغییرمکان و تنش- تغییرمکان نمونه های مسلح به ۲ درصد الیاف

همان‌گونه که در این اشکال قابل ملاحظه است، به ازای هر درصد الیاف، ۳ نمونه خمی مورد آزمایش قرار گرفته است. مقادیر عددی پارامترهای توصیف کننده خصوصیات مصالح در جداول ۳ و ۴ ارائه شده است که هر یک از این پارامترها در ۸ نقطه تعریف شده، محاسبه شده‌اند.

نتایج را با توجه به نمودار نیرو-تغییر مکان نشان داده، توصیف گردیده است. ظرفیت باربری نمونه‌های مسلح به ۱ درصد الیاف پس از ایجاد اولین ترک کاهش یافته، این روند نزولی تا گسیختگی کامل نمونه ادامه خواهد داشت. در این حالت، با افزایش بار ترک اولیه ایجاد شده، باز گردیده و نمونه به تدریج گسیخته می‌شود. با این حال ذکر این نکته حائز اهمیت است که رفتار نرم‌شدگی، ظرفیت تحمل نیرو بعد از ایجاد ترک را در مصالح به وجود می‌آورد که در مقایسه با بتون غیر مسلح به الیاف، منجر به رفتار شکل‌پذیر نمونه‌ها می‌شود.



شکل ۷- منحنی مقایسه‌ای نیرو-تغییر مکان و تنش-تغییر مکان نمونه‌های مسلح به ۱ و ۲ درصد الیاف

در نمونه‌های مسلح به ۲ درصد الیاف، پس از ایجاد اولین ترک، ظرفیت باربری افزایش یافته، ترک‌های متعدد در نمونه ایجاد می‌شود. با افزایش نیرو ترک‌های ریز ایجاد شده، به هم متصل شده، با تشکیل ترک بزرگ نمونه گسیخته می‌شود.

۴- ظرفیت باربری (تنش‌های خمی معادل)

تأثیر درصد حجمی الیاف بکار رفته بر تنش‌های خمی معادل، در شکل ۸ نشان داده شده است. مقادیر این تنش‌ها با استفاده از رابطه مشابه رابطه ۱ در تمامی نقاط منحنی، محاسبه شده‌اند. مقادیر بدست آمده، مقادیر متوسط نتایج سه نمونه هستند که در نقاط LOP، d₅، d₁₀، d₂₀، L/600، L/150 و MOR محاسبه گردیده‌اند.

جدول ۴- جزئیات نتایج آزمایش نمونه‌های مسلح به ۲ درصد الیاف

Vf=۲٪	UNIT	Specimen Number			
		1	2	3	
LOP	P_{LOP}	N	$1/۹۲۸ \times 10^4$	$1/۲۴۶ \times 10^4$	$1/۹۵ \times 10^4$
	f_{LOP}	MPa	۵/۷۸۴	۴/۲۷۸	۵/۸۶۲
	δ_{LOP}	mm	۰/۰۳۷۵	۰/۰۲۲۵	۰/۰۲۲۵
	$Tough_{LOP}$	N-mm	$5/۲۳۸۴ \times 10^7$	$2/۱۸۷۵ \times 10^7$	$8/۷۷۵۶ \times 10^7$
d ₅	P_{d_5}	N	$2/۲۵۶ \times 10^4$	$1/۶۵۴ \times 10^4$	$2/۴۴۶ \times 10^4$
	f_{d_5}	MPa	۶/۷۶۸۳	۴/۹۶۲	۷/۳۰۲۸
	δ_{d_5}	mm	۰/۱۱۲۵	۰/۰۶۷۵	۰/۲۱۷۵
	$Tough_{d_5}$	N-mm	$2/۰۷۸۹ \times 10^7$	$9/۰۱۱۸ \times 10^7$	$4/۱۴۳۲ \times 10^7$
d ₁₀	$P_{d_{10}}$	N	$2/۳۹۱۷ \times 10^4$	$1/۹۰۶۲ \times 10^4$	$2/۴۷۲۶ \times 10^4$
	$f_{d_{10}}$	MPa	۷/۱۷۵۱	۵/۱۱۸۶	۷/۴۱۸۷
	$\delta_{d_{10}}$	mm	۰/۰۲۰۶۳	۰/۰۱۲۳۸	۰/۰۳۹۸۸
	$Tough_{d_{10}}$	N-mm	$4/۳۱۰ \times 10^7$	$1/۸۴۷۳ \times 10^7$	$8/۹۷۸۷ \times 10^7$
d ₂₀	$P_{d_{20}}$	N	$2/۲۳۷ \times 10^4$	$1/۸۶۷ \times 10^4$	$2/۵۸۳ \times 10^4$
	$f_{d_{20}}$	MPa	۶/۷۱۱	۵/۶۹۰۱	۷/۶۸۹۳
	$\delta_{d_{20}}$	mm	۰/۰۳۹۳۸	۰/۰۲۳۶۳	۰/۰۷۶۱۳
	$Tough_{d_{20}}$	N-mm	$8/۶۰ \times ۱۰^7$	$۳/۹۳۱۲ \times 10^7$	$1/۸۴۱۴ \times 10^7$
L/600	$P_{L/600}$	N	$2/۱۶۶۶ \times 10^4$	$2/۱۲۰۴ \times 10^4$	$2/۷۸۵۴ \times 10^4$
	$f_{L/600}$	MPa	۶/۲۸۹۸	۶/۲۶۱۲	۸/۲۹۶۲
	$\delta_{L/600}$	mm	۰/۰۵۰۰	۰/۰۵۰۰	۰/۰۵۰۰
	$Tough_{L/600}$	N-mm	$1/۱۰ \times 10^7$	$9/۳۷۸۳ \times 10^7$	$1/۱۴۶۹ \times 10^7$
L/150	$P_{L/150}$	N	$1/۲۲۰۹ \times 10^4$	$1/۰۲۰۹ \times 10^4$	$1/۹۲۲۹ \times 10^4$
	$f_{L/150}$	MPa	۳/۶۶۲۷	۳/۰۶۲۷	۵/۷۶۸۷
	$\delta_{L/150}$	mm	۰/۰۰۰۰	۰/۰۰۰۰	۰/۰۰۰۰
	$Tough_{L/150}$	N-mm	$۳/۴۱۶۸ \times 10^7$	$۳/۲۴۸۵ \times 10^7$	$۴/۵۹۴۴ \times 10^7$
L/100	$P_{L/100}$	N	$8/۹۷۱۹ \times 10^4$	$6/۹۹۶۷ \times 10^4$	$1/۵۷۴۴ \times 10^4$
	$f_{L/100}$	MPa	۲/۶۹۱۶	۲/۰۹۹۰	۴/۸۱۲۲
	$\delta_{L/100}$	mm	۰/۰۰۰۰	۰/۰۰۰۰	۰/۰۰۰۰
	$Tough_{L/100}$	N-mm	$4/۴۷۹۹ \times 10^7$	$4/۱۰۵۱ \times 10^7$	$6/۳۲۸۷ \times 10^7$
MOR	P_{MOR}	N	$2/۴۳۵ \times 10^4$	$2/۱۹۴۲ \times 10^4$	$2/۷۸۴۴ \times 10^4$
	f_{MOR}	MPa	۷/۰۳۰	۶/۵۸۲۶	۸/۳۵۲۳
	δ_{MOR}	mm	۰/۲۷۵	۰/۰۵۵۵	۰/۰۱۲۵
	$Tough_{MOR}$	N-mm	$4/۷۹۱۶ \times 10^7$	$1/۰۵۱ \times 10^7$	$1/۱۸۱۵ \times 10^7$

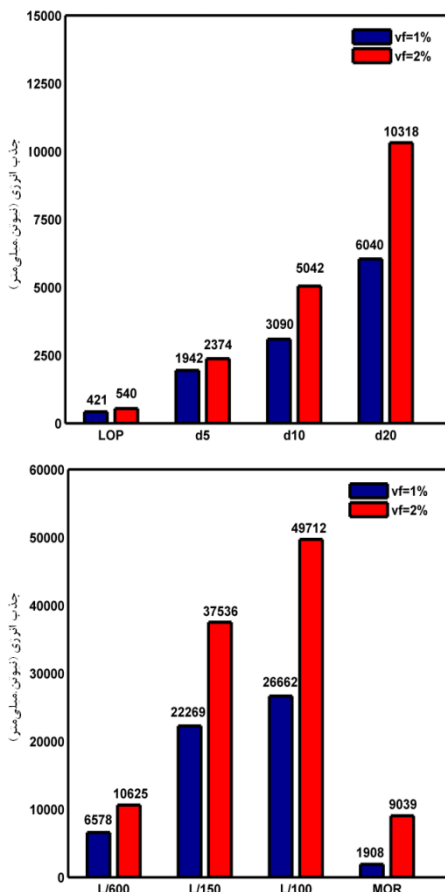
تمامی نمونه‌های مسلح به ۲ درصد الیاف، ظرفیت باربری مدول گسیختگی و جذب انرژی بیشتری نسبت به نمونه‌های مسلح به ۱ درصد الیاف نشان داده‌اند.

شکل ۷، رفتار نرم‌شدگی و سخت‌شدگی تغییر مکانی نمونه‌های مسلح به ۱ و ۲ درصد، الیاف را مقایسه می‌کند. رفتار نرم شدگی نمونه‌های مسلح به ۱ درصد الیاف، با استفاده از نمودار نمونه شماره ۲ توصیف گردیده که دارای ضعیف‌ترین نتایج بوده، رفتار سخت شدگی نمونه‌های مسلح به ۲ درصد الیاف، با استفاده از نمودار شماره ۳ که بهترین

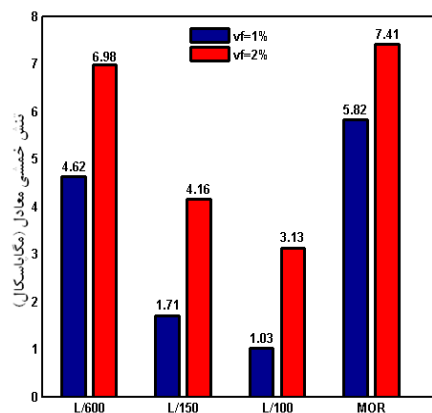
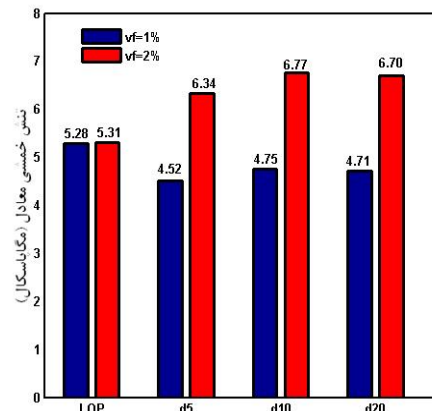
تاثیر افزایش درصد حجمی الیاف در نقطه‌ی L/150 است و مقاومت نظیر اولین ترک خوردنگی، کمترین تغییر را داشته است.

۵- جذب انرژی

کاربرد مصالح با قابلیت جذب انرژی بالا می‌تواند سبب کاهش خطرات ناشی از بارهای دینامیکی مانند، زلزله، ضربه و انفجار شود؛ بنابراین مقایسه این کمیت در درک بهتر کاربرد این مصالح در موارد فوق اهمیت دارد. تاثیر افزایش درصد حجمی الیاف در قابلیت جذب انرژی در شکل ۹ آمده است. سطح زیر نمودار منحنی نیرو-تغییر مکان تا نقطه‌ای مشخص، به عنوان میزان جذب انرژی تعریف می‌شود.



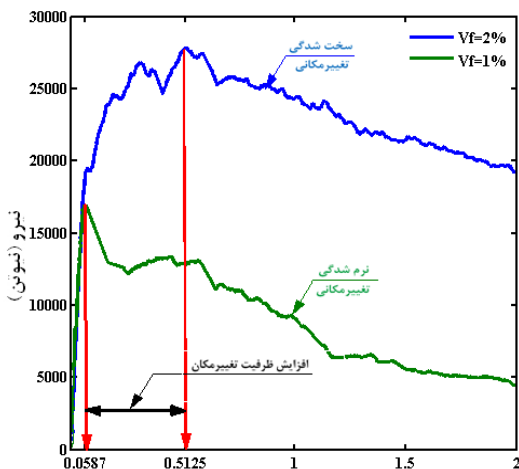
شکل ۹- تاثیر افزایش درصد حجمی الیاف در میزان جذب انرژی



شکل ۸- تاثیر افزایش درصد حجمی الیاف بر تنش‌های خمسی معادل

همان‌گونه که در شکل ۸ قابل مشاهده است، افزایش درصد حجمی الیاف، تاثیری بر مقدار تنش در نقطه‌ی حد تناسب نداشت، تغییرات قابل ملاحظه تنش بعد از این نقطه رخ می‌دهد. این مطلب، بیانگر آن است که الیاف، تاثیری بر رفتار قبل از ترک خوردنگی ماتریس نداشت، بیشترین تاثیر آن‌ها بعد از ایجاد ترک و از طریق پل‌زنی بین سطوح ترک است. علاوه بر این، میزان تاثیرگذاری الیاف به درصد حجمی آن وابسته است.

در نمونه‌های مسلح به ۱ درصد الیاف، نقاط L/600 و L/150 در محدوده رفتار نرم‌شدگی قرار گرفته‌اند؛ در حالی که نمونه‌های مسلح به ۲ درصد الیاف، نقطه‌ی L/600 در محدوده رفتار سخت‌شدگی قرار گرفته است. این امر، نشان‌دهنده تاثیر رفتار سخت‌شدگی در افزایش باربری، در تغییر مکان‌های کوچک و بعد از ترک خوردنگی است. بیشترین

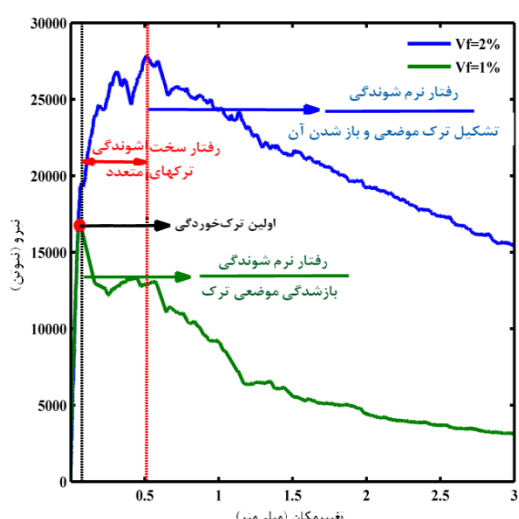


شکل ۱۰- تاثیر افزایش درصد حجمی الیاف در ظرفیت تغییر مکان

همان‌گونه که در این اشکال قابل ملاحظه است، میزان جذب انرژی تا نقطه d_{20} تغییر چندانی با افزایش درصد حجمی الیاف نمی‌نماید. با افزایش تغییر مکان، میزان جذب انرژی مصالح به طور قابل توجهی با افزایش درصد حجمی الیاف افزایش می‌یابد. وجود سخت‌شدنگی تغییر مکانی در رفتار خمشی نمونه‌ها سبب افزایش ظرفیت باربری و در نتیجه افزایش سطح زیر نمودار می‌شود. بیشترین تاثیر افزایش درصد حجمی الیاف در نقطه $L/100$ مشاهده گردیده که نشان دهنده تاثیر قابل ملاحظه رفتار سخت‌شدنگی تغییر مکانی در عملکرد مصالح است. با مقایسه نمودارهای مربوط به درصدهای حجمی الیاف ۱٪ و ۲٪ براحتی می‌توان دریافت که الیاف، تاثیر قابل ملاحظه‌ای روی میزان شکل‌پذیری مصالح دارند.

۷-۳ ترک خوردگی

شکل ۱۱، مراحل مختلف ترک خوردگی نمونه‌های مسلح به ۱٪ و ۲٪ الیاف را با توجه به نمودار نیرو-تغییر مکان نشان می‌هد. با توجه به نمودار نمونه‌های مسلح به ۱٪ الیاف پس از ایجاد اولین ترک، همان ترک شروع به باز شدن نموده، نمونه گسیخته می‌شود. در نمونه‌های مسلح به ۲٪ الیاف بدليل بروز رفتار سخت‌شدنگی، پس از ایجاد اولین ترک، ترک‌های متعدد دیگری با فواصل نیز تشکیل می‌شود.



شکل ۱۱- مراحل مختلف ترک خوردگی نمونه‌های مسلح به ۱٪ و ۲٪ الیاف

۶-۳ تغییر مکان

از آنجا که میزان شکل‌پذیری به ظرفیت تغییر مکان وابسته است، بررسی این خصوصیت از اهمیت خاصی برخوردار است. با توجه به نتایج بدست آمده (شکل ۱۰)، تغییر مکان نظری LOP_{MOR} ، به درصد نقطه $L/600$ وابسته نیست؛ در حالی که تغییر مکان نظری حداقل نیرو به مقدار زیادی به رفتار مصالح وابسته است. میزان این وابستگی به حدی است که با تغییر رفتار مصالح از نرم‌شدنگی به سخت‌شدنگی، مقدار δ_{MOR} از تغییر مکان نظری نقطه $L/600$ نیز بیشتر می‌شود. در مصالح با رفتار نرم‌شدنگی، تغییر مکان نظری حداقل نیرو مربوط به نقطه LOP است؛ در حالی که رفتار سخت‌شدنگی، پس از ترک خوردگی اولیه همراه با افزایش ظرفیت باربری، ظرفیت تغییر مکان نیز افزایش می‌یابد.

انرژی، ظرفیت تغییر مکان و نحوه ترک خوردگی به عنوان تابعی از درصد حجمی الیاف صورت گرفته است. بر همین اساس، نتایج و مشاهدات ذیل قابل استنباط است:

- تمامی نمونه‌های مسلح به ۰٪، الیاف فولادی قلابدار رفتار سخت‌شدن تغییرمکانی بروز داده‌اند. به عبارت دیگر، افزایش درصد حجمی الیاف از ۰٪ به ۲٪، سبب تغییر رفتار مصالح از حالت نرم‌شدن به حالت سخت‌شدن تغییرمکانی می‌شود.
- بروز رفتار سخت‌شدن تغییرمکانی سبب افزایش ظرفیت باربری مصالح بعد از ایجاد اولین ترک گشته؛ ولیکن تاثیری بر مقاومت نظیر اولین ترک خوردگی ندارد. افزایش ظرفیت باربری با افزایش تغییرمکان، بارزتر شده به‌طوری‌که میزان این افزایش در نقاط L/600 و L/150 و L/100 به ترتیب ۱۱۵٪، ۳۶٪ و ۳۸٪ است.
- میزان جذب انرژی مصالح (شکل پذیری) با تغییر رفتار مصالح به میزان قابل ملاحظه‌ای بهبود می‌یابد. افزایش جذب انرژی با افزایش تغییر مکان نمود بیشتری داشته به‌طوری‌که این افزایش در نقاط L/600 و L/150 و L/100 به ترتیب، ۶۱٪، ۶۸٪ و ۸۶٪ است.
- ظرفیت تغییر مکان (تغییر مکان نظیر حداکثر نیرو) با بروز رفتار سخت‌شدن تغییرمکانی افزایش چشمگیری افزایش می‌یابد. تغییر مکان نظیر، حداکثر نیرو در نمونه‌های مسلح به ۰٪ درصد الیاف در حدود ۱۰ برابر نمونه‌های مسلح به ۱٪ الیاف می‌شود.
- بروز رفتار سخت‌شدن تغییر نحوه ترک خوردگی مصالح می‌شود. در نمونه‌های مسلح به ۰٪، الیاف ابتدا ترک خوردگی متعدد رخداده، سپس این ترک‌ها به یکدیگر متصل شده، نمونه گسیخته می‌شود؛ در حالی که در نمونه‌های مسلح به ۱٪، الیاف گسیختگی نمونه از طریق ایجاد ترک و بازشدگی موضعی، همان ترک است.

۵- مراجع

- [1] Naaman AE (2002) Toughness, ductility surface energy and deflection-hardening FRC composites. In: Proceedings of JCI workshop on ductile fiber reinforced cementitious composites (DFRCC) – application and evaluation, Japan Concrete Institute, Tokyo, Japan, p. 33–57.

صعود و نزول‌های قسمت سخت‌شدن نمودار، مربوط به ایجاد همین ترک‌ها است. اشکال ۱۲ و ۱۳ به ترتیب، نحوه ترک خوردگی نمونه‌های ۱٪ و ۲٪ را نشان می‌دهد.



شکل ۱۲- نحوه ترک خوردگی نمونه ها

۴- نتیجه‌گیری

در این تحقیق، مشخصات مکانیکی کامپوزیت‌های پایه سیمانی مسلح به الیاف فولادی، مورد بررسی قرار گرفته است.



شکل ۱۳- ترک خوردگی‌های متعدد نمونه ها

الیاف فولادی بکار رفته، قلابدار بوده که با دو درصد حجمی متفاوت (۱٪ و ۲٪) به ماتریس سیمانی اضافه شده است. نمونه‌های خمشی مسلح به ۱٪، الیاف رفتار نرم‌شدن تغییرمکانی و نمونه‌های مسلح به ۲ درصد، الیاف رفتار سخت‌شدن تغییرمکانی را بروز داده‌اند. ارزیابی مشخصات مکانیکی این کامپوزیت از طریق بررسی پارامترهای خمشی شامل، ظرفیت باربری (تنش خمشی معادل)، میزان جذب

- [2] Soranakom C, Mobasher B (2008) Correlation of tensile and flexural responses of strain softening and strain hardening cement composites. *Cement Concrete Compos*;30(6):465–77.
- [3] Soroushian P, Bayasi Z (1991) Fiber-type effects on the performance of steel fiber reinforced concrete. *ACI Mater J*;88(2):129–34.
- [4] Kim D., Naaman AE., Tawil SE (2008) Comparative flexural behavior of four fiber reinforced cementitious composites. *Cement & Concrete Composites* 30 917–928.
- [5] Alaee F., nazrali G (2007) high performance fiber reinforced cementitious composite with crimped fiber. *Fibre Concrete*, Prague, September 2007.
- [6] Won J., Hong B., Joon C (2012) Flexural behaviour of amorphous micro-steel fibre-reinforced cement composites, *Composite Structures* 94 1443–1449.
- [7] Nguyen D., Kim D., Ryu G (2012) Size effect on flexural behavior of ultra-high-performance hybrid fiber-reinforced concrete, *Composites: Part B*
- [8] Banthia N, Trottier J-F (1995) Test methods for flexural toughness characterization of fiber reinforced concrete: some concerns and a proposition. *ACI Mater J*;92(1):1–10.
- [9] ASTM C 1609/C 1690M-05 (2006) Standard test method for flexural performance of fiber reinforced concrete (using beam with third-point loading). American Society of Testing and Materials, January. p. 1–8.
- [10] ASTM C 1018-97 (1998) Standard test method for flexural toughness and first-crack strength of fiber reinforced concrete (using beam with third-point loading). American Society of Testing and Materials, October. p. 544–51.
- [11] Caijun Shi , Mo Y. L. High performance construction materials Science and Applications, Engineering Materials for Technological Needs, Vol.1